

W-Fe, Co,  
Ni

Vi, *m-жна пріпраука*

VI-4028

1965

( $\text{Ni}(\text{NH}_3)_6\text{X}_2$ , X=Cl-, Br-, I-,  $\text{ClO}_2$ ,  $\text{BrO}_3$ ,  
 $\text{ClO}_4$ -,  $\text{NO}_3$ -,  $\text{SO}_4^{2-}$ ,  $\text{S}_2\text{O}_8^{2-}$ ,  $\text{C}_2\text{O}_4^{2-}$ ,  
 $\text{MoO}_4^{2-}$ ,  $\text{WO}_4^{2-}$ , SCN-)

Viltange N.

Mikrochim.acta, 1965, N4, 609-20.

Stude des metallohexammines. II Etude par  
thermogravimetric et spectrogr.d'absorption  
infra-rouge des nickeloo-hexammines.

RK., 1966, 13 174 J, Be

еемъ оп. К

1972

NiWO<sub>4</sub>

2 E1411. Влияние антиферромагнитного упорядочения на спектр поглощения вольфрамата никеля. Скоробогатова И. В., Звягин А. И. «Оптика и спектроскопия», 1972, 33, № 3, 594—595

Проведено измерение спектров поглощения монокристаллов сильномагн. в-ва NiWO<sub>4</sub> и изоструктурного ему диамагн. соединения ZnWO<sub>4</sub> с малой (~2%) примесью ионов Ni<sup>2+</sup>. Спектры записывались на дифракционном спектрометре ДСФ-12 с решеткой 300 штрих/мм и линейной дисперсией 20 Å/мм в районе 1 мк. Монокристаллы NiWO<sub>4</sub> и ZnWO<sub>4</sub>+Ni<sup>2+</sup> выращивались из расплава методом Чохральского. Установлено, что при т-рах выше 78° К спектр поглощения состоит из ряда широких полос, обусловленных переходами между компонентами <sup>3</sup>A<sub>2</sub> и <sup>3</sup>T<sub>2</sub>, <sup>3</sup>T<sub>1</sub> и <sup>1</sup>E расщепления термов <sup>3</sup>F<sub>4</sub> и <sup>1</sup>D<sub>2</sub> иона Ni<sup>2+</sup> кубической составляющей кристаллич. поля. Получено, что в спектре ZnWO<sub>4</sub>+Ni<sup>2+</sup> частота максимума поглощения полосы <sup>3</sup>A<sub>2</sub>→<sup>1</sup>E испытывает плавное смещение при понижении т-ры от 300 до

спектр  
пол.

результат - 3-2

№ 41 б III

1,5° К. Переход кристалла  $\text{NiWO}_4$  в магнитоупорядоченное состояние приводит к резкому частотному сдвигу полосы поглощения  ${}^3A_2 \rightarrow {}^1E$  в области т-ры Нееля. Для  $\text{NiWO}_4$  проведена оценка величины энергетич. расщепления основного состояния  ${}^3A_2$  обменным взаимодействием, кроме того, в рамках теории кристаллич. поля рассмотрена тонкая структура перехода  ${}^3A_2 \rightarrow {}^3T_2$ .

В. А. Чевенков.

FeWO<sub>4</sub> (upcr.)

1973

Parvulus, cuneif.

Cult. Kochij.

Loison, J.P., Collet, P.,

Can. J. Spectrosc., 1973,

13(3), 69-76.

● (cuv. MnWO<sub>4</sub>,  $\frac{1}{2}$ )

NiWO<sub>4</sub> (upos)

1973

Lesne, J.P.; Caillet, P.;  
Can. J. Spectrosc., 1973,  
18(3), 69-76.

(see MnWO<sub>4</sub>; II)

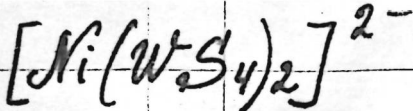
$\text{CoWO}_4$  (epoxy).

1973

PUMA K chemip  
eux. note.

Zesno, J.P.; Caillot, P.;  
Can. J. Spectrosc., 1973,  
18(3), 69-76.

(see:  $\text{MnWO}_4$ ; III)



1975

131434k Infrared spectrum, vibrational assignment, and normal coordinate analysis of the bis(tetrathiotungstate)nickel complex. Cormier, Alan; Nakamoto, Kazuo; Ahlborn, E.; Mueller, Achim (Dep. Chem., Marquette Univ., Milwaukee, Wis.). *J. Mol. Struct.* 1975, 25(1), 43-51 (Eng). The ir spectra ( $33\text{-}4000\text{ cm}^{-1}$ ) of  $(PPh_3)_2[Ni(WS_4)_2]$  with  $^{58}\text{Ni}$  and  $^{62}\text{Ni}$  were measured. The anion fundamentals were assigned and a normal coordinate anal. on the  $D_{2h}$  planar anion  $[^{58}\text{Ni}(WS_4)_2]^{2-}$  and its  $^{62}\text{Ni}$  analog was carried out. In order to obtain good agreement between calcd. and obsd. frequencies and isotope shifts, it was necessary to modify the Urey-Bradley force field by adding selected interaction force consts. The force field obtained is contrasted to that previously reported for the  $[Ni(CS_3)_2]^{2-}$  anion.

Cal.  
NOCT.

P.A. 1975. 82 N2D

$[HFe(CO)_4W(CO)_5]^-$

1986

Halpin C.F., Hall M.B.,

ab initio  
pacem

J. Am. Chem. Soc. 1986,  
108 (7), 1695-6.

C.A. 1986, 104, N16, 136350N

WFeS

1992

met.  
paerim  
cēipyxon.  
cēadus.

Liu Chunwan,  
Yang Xiaofei, et al.

Polyhedron 1992,  
11(8), 957-62.

(cels. VFeS; 11)